

# 结直肠癌患者不同组织中 K-ras 基因研究

宋 枫 高 峰 吴伟强 杨增强 徐 明 张 鑫

**摘要 目的** 研究结直肠癌患者不同组织中 K-ras 基因的临床意义。**方法** 采用实时荧光定量 PCR 方法检测患者原发灶组织 100 例、转移淋巴结组织 64 例、远处转移灶 13 例、腺瘤组织 19 例中 K-ras 基因突变情况。**结果** 结直肠癌原发灶、转移淋巴结组织、远处转移灶、腺瘤组织的 K-ras 基因检出率分别为 100%、92.2%、92.3%、89.5%；K-ras 基因突变率分别为 39.0%、30.5%、33.3%、17.6%。主要突变基因第 12 编码子 34 位 G>T, G>A, G>C, 35 位 G>A, G>T, G>C；第 13 编码子 37 位 G>C, 38 位 G>A 等 8 种基因发生突变。**结论** 结直肠癌原发灶、转移淋巴结组织、远处转移灶的 K-ras 基因突变率基本一致，而腺瘤组织 K-ras 基因突变率明显低于原发灶、转移淋巴结组织、远处转移灶组织。K-ras 基因突变在结直肠癌的发生、发展中起重要作用，这对结直肠癌的防治有重要的指导意义。

**关键词** K-ras 基因 结直肠癌 基因突变

**中图分类号** R735

**文献标识码** A

**DOI** 10.3969/j.issn.1673-548X.2015.03.021

**Research of K-ras Gene of Colorectal Cancer at Different Tissue.** Song Feng, Gao Feng, Wu Weiqiang, et al. Department of Colorectal Surgery, Lanzhou General Hospital, Lanzhou Command, PLA, Gansu 730050, China

**Abstract Objective** The Research of K-ras gene of colorectal cancer at different tissue. **Methods** One-hundred primary foci, 64 metastatic lymph nodes, 13 metastatic remote organs and 19 colorectal adenoma from colorectal cancer patients were collected. Real-time fluorescence quantitative PCR were performed to detect K-ras mutations results were analyzed. **Results** The frequency of K-ras detection in primary foci, metastatic lymph nodes, metastatic remote organs and colorectal adenoma were 100%, 92.2%, 92.3% and 89.5%. The frequency of K-ras mutation in primary foci, metastatic lymph nodes, metastatic remote organs and colorectal adenoma were 39.0%, 30.5%, 33.3% and 17.6%. The most common mutation of codon was 12 (G>T, G>A, G>C, G>A, G>T, G>C) and codon 13 (G>C, G>A). **Conclusion** The detection of K-ras mutations in primary foci, metastatic lymph nodes, metastatic remote organs was concordant. K-ras mutations play an important role in the carcinogenesis and development of colorectal cancer.

**Key words** K-ras gene; Colorectal cancer; Gene mutation

结直肠癌 (colorectal cancer, CRC) 是一种常见恶性肿瘤。实验证明 K-ras 基因在结直肠癌发生、发展过程中起重要作用<sup>[1~4]</sup>。本研究采用实时荧光定量 PCR 方法检测患者结直肠癌原发灶、转移淋巴结组织、远处转移灶、腺瘤组织中 K-ras 基因突变情况，以研究 K-ras 基因在结直肠癌中的突变表达。

## 材料与方法

1. 研究对象：收集笔者医院 2009 年 1 月 ~ 2014 年 1 月手术切除结直肠癌标本 100 例，并取相应患者转移淋巴结组织 64 例、远处转移灶 13 例、腺瘤组织 19 例。其中男性 62 例，女性 38 例；患者年龄 21 ~ 87 岁，平均年龄 54.3 岁。肿瘤病理类型：高分化腺癌 11 例，中分化腺癌 38 例，低分化腺癌 49 例，黏液腺癌 2 例。

2. 检测方法：(1) 标本采集：结直肠癌原发灶、转移淋巴结组织、远处转移灶、腺瘤组织 ( 直径 > 0.5cm ) 取下后应在 1h 内放入 10% 中性甲醛溶液中固定，用量应为组织块的 4 ~ 20 倍，固定时间应为 6 ~ 48h；在新鲜标本的制备过程中，新鲜组织取下后应立即放入 -20℃ 以下冰箱中保存。石蜡样本 DNA 提取 ( 使用 TaKaRa 公司的石蜡样本处理试剂 (DEXPAT) )，将石蜡包埋组织切成 5μm (4 ~ 10μm) 厚后，用灭菌小镊子将两枚切片放入 1.5ml EP 管中，包埋组织至少需要 6mm × 6mm 大小。具体操作步骤请参照相应人类组织基因组 DNA 提取试剂盒操作说明。(2) K-ras 基因检测：根据 Jhawer 等<sup>[5,6]</sup> 文献所述，使用北京金普嘉医疗科技有限公司的 K-ras 基因突变检测试剂盒，该试剂盒结合了 TaqMan 技术和 LNA 钳制技术，采用荧光定量 PCR 方法对 K-ras 基因外显子 2 中第 12、13 编码子发生的基因突变进行定性检测。总反应体系为 20μl，包括反应模板 DNA 2μl，反应混合液 18μl，每次反应均设阴性对照。荧光定量 PCR 仪型号为 ABI7300。PCR 反应条件为：50℃ 保温 2min, 95℃ 变性 10min, 95℃ 15s, 69℃ 10s, 62℃ 1min，循环 40 次。

基金项目：甘肃省自然科学基金资助项目 (1308RJZA154)；兰州军区医药卫生科研计划基金资助项目 (CLZ12JB15)

作者单位：730050 兰州军区兰州总医院肛肠外科

## 结 果

1. K-ras 基因检出情况: 结直肠癌原发灶、转移淋巴结组织、远处转移灶、腺瘤组织、正常组织的 K-

ras 基因检出率分别为 100.0%、92.2%、92.3%、89.5%、100.0%。检出情况见表 1。

表 1 结直肠癌不同组织 K-ras 基因检出情况 [n(%)]

标本	原发灶	转移淋巴结组织	远处转移灶	腺瘤组织	正常组织
n	100	64	13	19	100
检出 K-ras 基因	100	59	12	17	100
检出率	100(100.0)	59(92.2)	12(92.3)	17(89.5)	100(100)

2. K-ras 基因突变情况: 结直肠癌原发灶、转移淋巴结组织、远处转移灶、腺瘤组织、正常组织的 K-

ras 基因突变率分别为 39%、30.5%、33.3%、17.6%、0。突变情况见表 2。

表 2 结直肠癌不同组织 K-ras 基因突变情况 [n(%)]

标本	原发灶	转移淋巴结组织	远处转移灶	腺瘤组织	正常组织
n	100	59	12	17	100
野生型	61	41	8	14	100
突变型	39	18	4	3	0
突变率	39(39.0)	18(30.5)	4(33.3)	3(17.6)	0

3. 所检测的 100 例中 K-ras 基因原发灶突变类型: 12 编码子突变为 32 例, 突变率为 32.0%, 13 编码子突变为 7 例, 突变率为 7.0%; 转移淋巴结组织突变类型: 12 编码子突变为 16 例, 突变率为 27.1%, 13 编码子突变为 2 例, 突变率为 3.4%; 远处转移灶突变类型: 12 编码子突变为 3 例, 突变率为 25.0%, 13 编码子突变为 1 例, 突变率为 8.3%; 腺瘤组织突变类型: 12 编码子突变为 2 例, 突变率为 11.8%, 13 编码子突变为 1 例, 突变率为 5.8%; 主要突变基因第 12 编码子 34 位 G>T, G>A, G>C, 35 位 G>A, G>T, G>C; 第 13 编码子 37 位 G>C, 38 位 G>A 等 8 种基因发生突变。突变类型为 G→A 转换、G→T 及 G→C 颠换。原发灶 K-ras 基因突变位点有: 34 位 G 突变为 A 12 例、35 位的 G 突变为 A 8 例、38 位的 G 突变为 A 7 例、35 位的 G 突变为 T 6 例、34 位的 G 突变为 T 4 例、35 位的 G 突变为 C 2 例, 其中突变率最高的位点为 12 号编码子 34 位 G 突变为 A, 突变率为 12.0%; 突变率最低的位点为 35 位的 G 突变为 C, 突变率为 2.0%。结直肠癌不同组织 K-ras 基因

突变类型见表 3; 野生型及突变型 K-ras 基因实时荧光定量 PCR 扩增曲线图见图 1、图 2。

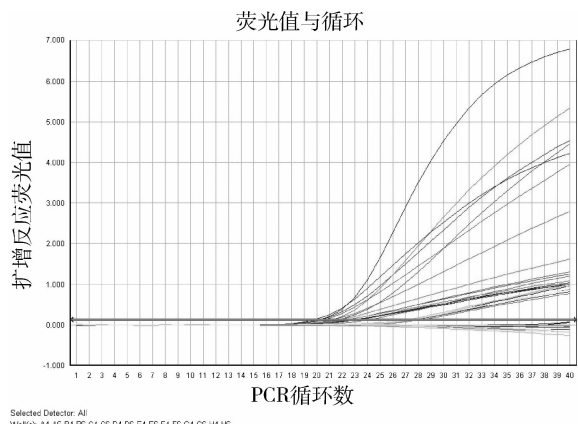


图 1 野生型 K-ras 基因实时荧光定量 PCR 扩增曲线图

## 讨 论

K-ras 基因属于 Ras 基因家族, 位于染色体的 12p12, 最常见的激活方式为点突变, 突变的位点几乎都集中在 2 号外显子的第 12 位编码子和第 13 位编码子, K-ras 基因突变在大肠癌遗传学改变中最为重要。结直肠癌早期即隐窝异常病灶、腺瘤、癌组织、转移淋巴结组织、远处转移灶中均可检测到基因突变<sup>[7]</sup>。本次实验结直肠癌原发灶、转移淋巴结组织、远处转移灶、腺瘤组织的 K-ras 基因突变率分别为 39.0%、30.5%、33.3%、17.6% 与国内报道相同<sup>[8~11]</sup>,

表 3 结直肠癌不同组织 K-ras 基因突变类型

标本	原发灶 (n=100)	转移淋巴 结组织(n=59)	远处转移灶 (n=12)	腺瘤组织 (n=17)
12 编码子	32	16	3	2
13 编码子	7	2	1	1

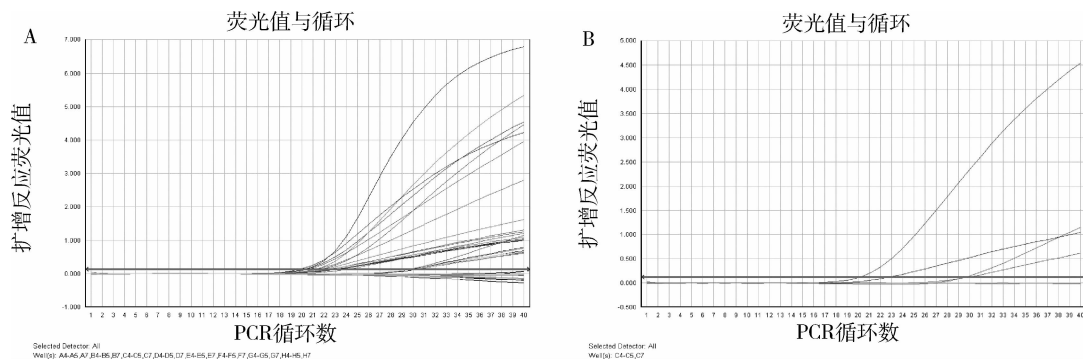


图 2 突变型 K-ras 基因实时荧光定量 PCR 扩增曲线图

A. 全位点扩增图; B. 突变位点扩增图

正常组织未发现 K-ras 基因突变。突变的 K-ras 基因可稳定地处于活化状态并持续其信号传递，导致细胞无控制地增殖并向恶性转化。结直肠癌最常见的是 K-ras 基因第 12、13 位密码子尤其第 12 位密码子错义突变<sup>[12,13]</sup>。本次实验 K-ras 基因原发灶突变类型：12 编码子突变为 32 例，突变率为 32.0%，13 编码子突变为 7 例，突变率为 7.0%；转移淋巴结组织突变类型：12 编码子突变为 16 例，突变率为 27.1%，13 编码子突变为 2 例，突变率为 3.4%；远处转移灶突变类型：12 编码子突变为 3 例，突变率为 25.0%，13 编码子突变为 1 例，突变率为 8.3%；腺瘤组织突变类型：12 编码子突变为 2 例，突变率为 11.8%，13 编码子突变为 1 例，突变率为 5.8%。12 编码子突变的结果导致编码的氨基酸发生改变，从而产生具有致癌活性的 P21 蛋白，13 编码子突变则导致天冬氨酸(Asp)取代甘氨酸(Gly)，使结直肠癌患者的生存率降低。

通过此研究表明结直肠癌原发灶、转移淋巴结组织、远处转移灶的 K-ras 基因突变率基本一致，而腺瘤组织 K-ras 基因突变率明显低于原发灶、转移淋巴结组织、远处转移灶组织。因此在原发灶组织无法取到时，进行淋巴结或转移灶组织的 K-ras 基因检测具有与原发灶组织 K-ras 基因检测的相同意义。笔者认为 K-ras 基因突变在结直肠癌的发生、发展中起重要作用，这对结直肠癌的防治有重要意义。另外，西妥昔单抗对 K-ras 基因野生型结直肠癌患者有效，所以通过进行结直肠癌患者的 K-ras 基因检测对其治疗有指导意义。

#### 参考文献

- Garcia M, Jemal A, Ward EM, et al. Global cancer facts and figures 2007 [R]. Atlanta: American Cancer Society, 2007: 25–26

- 2 Dabritz J, Hanfler J, Preston R, et al. Detection of K-ras mutations in tissue and plasma samples of patients with pancreatic using PNA-mediated PCR camping and hybridization probes [J]. Br J Cancer, 2005, 92(2):405–412
- 3 Halatsch ME, Hirsch-Ernst KI, Weinel RJ, et al. Differential activation of the c-Ki-ras-2 proto-oncogene in human colorectal carcinoma [J]. Anticancer Research, 1998, 18(4A):2323–2325
- 4 Zhu D, Xing D, Shen X, et al. High sensitive approach for point mutation detection based on electrochemiluminescence [J]. Biosensors Bioelectronics, 2004, 20(3):448–453
- 5 Jhawer M, Goel S, Wilson AJ, et al. PIK3CA mutation/PTEN expression status predicts response of colon cancer cells to the epidermal growth factor receptor inhibitor cetuximab [J]. Cancer Res, 2008, 68(6):1953–1961
- 6 Carmen JA, Milburn JJ, Mark RS, et al. American society of clinical oncology provisional clinical opinion: testing for KRAS gene mutations in patients with metastatic colorectal carcinoma to predict response to anti-epidermal growth factor receptor monoclonal antibody therapy [J]. J Clin Oncol. Doi:10.1200/JCO.2009.21.9170
- 7 袁平, 孙孟红, 张锦生, 等. 结直肠粘膜隐窝异常病灶 k-ras、APC 基因突变的研究[J]. 中华病理学杂志, 2001, 30(2):35–38
- 8 袁平, 孙孟红, 张锦生, 等. 中国人 K-ras 基因突变的研究[J]. 临床与实验病理学杂志, 2000, 16(6):464–466
- 9 唐卫中, 高枫, 李卫, 等. 结直肠癌 APC、K-ras、p53 基因突变检测[J]. 肿瘤, 2006, 26(3):282–284
- 10 宋帆, 高峰, 杨增强, 等. 结直肠癌中 K-ras 基因突变研究[J]. 实用肿瘤杂志, 2014, 29(1):33–35
- 11 吴小军, 李清泉, 陈雪芹, 等. 肺癌患者组织和痰液中 p53 基因、K-ras 基因突变[J]. 肿瘤防治研究, 2000, 27(1):33–35
- 12 Rónán C, Heyer J. KRAS mouse models: modeling cancer harboring KRAS mutations [J]. Genes & Cancer. 2011, 2(3):335–343
- 13 于振香, 左孟华, 赵珩. 胸水细胞 p53 和 K-ras 基因突变对于肺癌的诊断价值[J]. 中国实验诊断学, 2006, 10(8):857–859

(收稿日期: 2014-08-15)

(修回日期: 2014-09-17)